



(19) 대한민국특허청(KR)
(12) 공개특허공보(A)

(11) 공개번호 10-2014-0103081
(43) 공개일자 2014년08월25일

- (51) 국제특허분류(Int. Cl.)
HO4L 9/20 (2006.01) *HO4L 9/12* (2006.01)
- (21) 출원번호 10-2014-0017453
(22) 출원일자 2014년02월14일
심사청구일자 없음
- (30) 우선권주장
13305176.3 2013년02월15일
유럽특허청(EPO)(EP)
13305371.0 2013년03월26일
유럽특허청(EPO)(EP)

- (71) 출원인
톰슨 라이센싱
프랑스 92130 이씨레몰리노 찬 다르크 류 1-5
- (72) 발명자
좌, 마르고
프랑스 쎄송 쎄비네 35 576 쎄 에스 176 16 자크
데 샹 블랑 아브뉘 테 샹 블랑 975 페끄니꼴로르
에르 에 데 프랑스
리베르, 브누와
프랑스 쎄송 쎄비네 35 576 쎄 에스 176 16 자크
데 샹 블랑 아브뉘 테 샹 블랑 975 페끄니꼴로르
에르 에 데 프랑스
- (74) 대리인
백만기, 양영준, 전경석

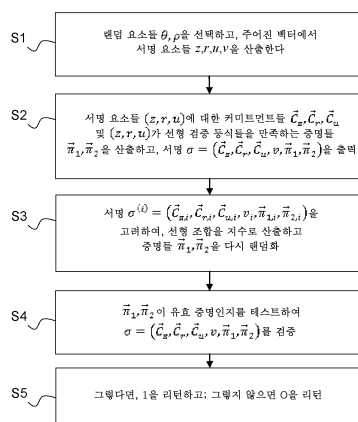
전체 청구항 수 : 총 10 항

(54) 발명의 명칭 선형 준동형 구조-보존 서명을 생성 및 검증하기 위한 암호화 디바이스 및 방법

(57) 요약

벡터 $(M_1, \dots, M_n) \in \mathbb{G}^n$ 에서 선형 준동형 구조-보존 서명 σ 은, 프로세서(120)에서, 서명 키 $sk = \{x_i, y_i, \delta_i\}_{i=1}^n$ 를 사용하여, $z = \prod_{i=1}^n M_i^{-x_i}$, $r = \prod_{i=1}^n M_i^{-y_i}$, $u = \prod_{i=1}^n M_i^{-\delta_i}$ 를 계산함으로써 서명 요소들 (z, r, u) 를 산출하고, 서명 요소들 (z, r, u) 을 포함하는 서명 σ 를 출력함으로써, 생성된다. 서명은, 프로세서(220)에서, $(M_1, \dots, M_n) \neq (1_{\mathbb{G}}, \dots, 1_{\mathbb{G}})$ 이고, (z, r, u) 이 등식들 $1_{\mathbb{G}_T} = e(g_s, z) \cdot e(g_r, r) \cdot \prod_{i=1}^n e(g_i, M_i)$, $1_{\mathbb{G}_T} = e(h_s, z) \cdot e(h_u, u) \cdot \prod_{i=1}^n e(h_i, M_i)$ 을 만족하는지를 검증하고; 검증이 성공적인 경우에 서명은 성공적으로 검증된 것으로 결정하고 그렇지 않으면 서명은 성공적으로 검증되지 않은 것으로 결정함으로써 검증된다. 또한, 완전한 스킴(fully-fledged scheme)과 컨텍스트-온페 스킴(context-hiding scheme)이 제공된다.

대 표 도 - 도2



특허청구의 범위

청구항 1

벡터 $(M_1, \dots, M_n) \in \mathbb{F}^n$ 에서 선형 준동형 서명(linearly homomorphic signature) σ 을 생성하는 방법 - \mathbb{F} 는 제1 그룹을 나타냄 - 으로서,

디바이스(100)의 프로세서(120)에서,

서명 키 $sk = \{x_i, r_i, \delta_i\}_{i=1}^n$ 를 사용하여, $z = \prod_{i=1}^n M_i^{-x_i}$, $r = \prod_{i=1}^n M_i^{-r_i}$, $u = \prod_{i=1}^n M_i^{-\delta_i}$ 를 계산함으로써 서명 요소들 (z, r, u) 를 산출하는 단계, 및

상기 서명 요소들 (z, r, u) 을 포함하는 상기 서명 σ 를 출력하는 단계

를 포함하는 선형 준동형 서명 생성 방법.

청구항 2

제1항에 있어서, 상기 서명 키는 요소 $h_z^{\alpha_r}$ 를 더 포함하고,

상기 방법은,

랜덤 요소들 $\theta, \rho \leftarrow \mathbb{Z}_p$ 을 선택하는 단계; 및

추가 서명 요소 $v = h^{\rho}$ 를 산출하는 단계 - h 는 제2 그룹의 요소임 -

를 더 포함하고,

z 의 계산은 g_r^θ 의 곱을 더 포함하고, r 의 계산은 $g_z^{-\theta}$ 의 곱을 더 포함하고, u 의 계산은 $(h_z^{\alpha_r})^{-\theta}$ 의 곱을 더 포함하고, α_r 은 정수이고, h, g_r 및 g_z 는 상기 제2 그룹의 요소들이고;

상기 서명은 상기 서명 요소 v 를 더 포함하고;

상기 제1 그룹 및 상기 제2 그룹은 동일한 선형 준동형 서명 생성 방법.

청구항 3

벡터 $(M_1, \dots, M_n) \in \mathbb{F}^n$ 에 대한 서명 요소들 (z, r, u) 을 포함하는 선형 준동형 서명 σ 를 검증하는 방법 - \mathbb{F} 는 제1 그룹을 나타냄 - 으로서,

디바이스(200)의 프로세서(220)에서,

$(M_1, \dots, M_n) \neq (1_{\mathbb{F}}, \dots, 1_{\mathbb{F}})$ 이고, (z, r, u) 가 제1 등식 $1_{\mathbb{F}_T} = e(g_s, z) \cdot e(g_r, r) \cdot \prod_{i=1}^n e(g_i, M_i)$ 및 제2 등식

$1_{\mathbb{F}_T} = e(h_s, z) \cdot e(h, u) \cdot \prod_{i=1}^n e(h_i, M_i)$ 를 만족하는지를 검증 - $e(\cdot, \cdot)$ 는 대칭 및 가환성 페어링(symmetric and commutative pairing)을 나타내고, h, h_s, h_i, g_r, g_i 및 g_z 는 제2 그룹의 요소들임 - 하는 단계; 및

상기 검증들이 성공적인 경우에 상기 서명이 성공적으로 검증된 것으로 결정하고 그렇지 않으면 상기 서명이 성공적으로 검증되지 않은 것으로 결정하는 단계

를 포함하는 선형 준동형 서명 검증 방법.

청구항 4

제3항에 있어서, 상기 제2 등식은 항 $e(H_G(\tau), v)$ 를 더 포함하는데, $H_G(\tau)$ 는 해시 함수를 나타내고, τ 는 서명된 벡터들이 있는 서브스페이스의 식별자를 나타내는 것인 선형 준동형 서명 검증 방법.

청구항 5

벡터 $(M_1, \dots, M_n) \in \widehat{\mathbb{G}}^n$ 에 대한 선형 준동형 서명 σ 를 생성하기 위한 디바이스(100) - $\widehat{\mathbb{G}}$ 는 제1 그룹을 나타냄 - 로서,

프로세서(120)

를 포함하고,

상기 프로세서(120)는,

서명 키 $sk = \{x_i, y_i, \delta_i\}_{i=1}^n$ 를 사용하여, $z = \prod_{i=1}^n M_i^{-x_i}$, $r = \prod_{i=1}^n M_i^{-y_i}$, $u = \prod_{i=1}^n M_i^{-\delta_i}$ 를 계산함으로써 서명 요소들 (z, r, u) 를 산출하고,

상기 서명 요소들 (z, r, u) 를 포함하는 상기 서명 σ 를 출력하도록 구성되는 선형 준동형 서명 생성 디바이스.

청구항 6

$$h_z^{\alpha_r}$$

제5항에 있어서, 상기 서명 키는 요소 $h_z^{\alpha_r}$ 를 더 포함하고, 상기 프로세서는:

랜덤 요소 $\theta, \rho \xleftarrow{R} \mathbb{Z}_p$ 를 선택하고;

추가 서명 요소 $v = h^{\rho}$ 를 계산 - h 는 제2 그룹의 요소임 - 하도록 더 구성되며,

z 의 계산은 g_r^θ 의 곱을 더 포함하고, r 의 계산은 $g_z^{-\theta}$ 의 곱을 더 포함하고, u 의 계산은 $(h_z^{\alpha_r})^{-\theta}$ 의 곱을 더 포함하는데, α_r 은 정수이고, h , g_r 및 g_z 는 상기 제2 그룹의 요소들이고;

상기 서명은 상기 서명 요소 v 를 더 포함하고;

상기 제1 그룹 및 상기 제2 그룹은 동일한 것인 선형 준동형 서명 생성 디바이스.

청구항 7

벡터 $(M_1, \dots, M_n) \in \widehat{\mathbb{G}}^n$ 에 대한 서명 요소들 (z, r, u) 를 포함하는 선형 준동형 서명 σ 를 검증하기 위한 디바이스(200) - $\widehat{\mathbb{G}}$ 는 제1 그룹을 나타냄 - 로서,

프로세서(220)

를 포함하고,

상기 프로세서(220)는,

$(M_1, \dots, M_n) \neq (1_{\widehat{\mathbb{G}}}, \dots, 1_{\widehat{\mathbb{G}}})$ 이고 (z, r, u) 가 제1 등식 $1_{\mathbb{G}_T} = e(g_z, z) \cdot e(g_r, r) \cdot \prod_{i=1}^n e(g_i, M_i)$ 및 제2 등식 $1_{\mathbb{G}_T} = e(h_z, z) \cdot e(h, u) \cdot \prod_{i=1}^n e(h_i, M_i)$ 를 만족하는지를 검증 - $e(\cdot, \cdot)$ 는 대칭 및 가환성 페어링(symmetric and commutative pairing)을 나타내고, h , h_z , h_i , g_r , g_i 및 g_z 는 제2 그룹의 요소들임 - 하고;

상기 검증들이 성공적인 경우에 상기 서명이 성공적으로 검증된 것으로 결정하고 그렇지 않으면 상기 서명이 성공적으로 검증되지 않은 것으로 결정하도록 구성된 선형 준동형 서명 검증 디바이스.

청구항 8

제7항에 있어서, 상기 제2 등식은 항 $e(H_G(\tau), v)$ 를 더 포함하는데, $H_G(\tau)$ 은 해시 함수를 나타내고, τ 는 서명된 벡터들이 있는 서브스페이스의 식별자를 나타내는 것인 선형 준동형 서명 검증 디바이스.

청구항 9

벡터 $(M_1, \dots, M_n) \in \widehat{\mathbb{G}}^n$ 에 대한 선형 준동형 서명 σ 를 생성하기 위한 디바이스(100) - $\widehat{\mathbb{G}}$ 는 제1 그룹을 나타냄 - 로서,

프로세서(120)

를 포함하고,

상기 프로세서(120)는,

서명 키 $sk = \{h_x^{\alpha_r}, \chi_i, \gamma_i, \delta_i\}_{i=1}^n$ 를 사용 - h_x 는 제2 그룹의 멤버이고, α_r 은 정수임 - 하여, $z = g_r^\theta \cdot \prod_{i=1}^n M_i^{-\chi_i}$,

$r = g_x^{-\theta} \cdot \prod_{i=1}^n M_i^{-\gamma_i}$, $u = (h_x^{\alpha_r})^{-\theta} \cdot \prod_{i=1}^n M_i^{-\delta_i}$, $v = h^p$ 를 계산함으로써 서명 요소들 (z, r, u, v) 을 산출 - $H_G(\tau)$ 는 해시 함수를 나타내고, τ 는 서명된 벡터들이 있는 서브스페이스의 식별자를 나타냄 - 하고;

z, r 및 u 에 대한 커미트먼트들(commitments)을 각각 생성하고;

z, r 및 u 에 대한 상기 커미트먼트들을 사용하여, z, r 및 u 는 미리 결정된 검증 알고리즘들을 만족한다는 증명들을 생성하고;

상기 서명 요소 v 와, z, r 및 u 에 대한 상기 커미트먼트들, 및 상기 증명들을 포함하는 상기 서명 σ 를 출력하도록 구성된 선형 준동형 서명 생성 디바이스.

청구항 10

벡터 $(M_1, \dots, M_n) \in \widehat{\mathbb{G}}^n$ 에 대한 선형 준동형 서명 σ 를 검증하기 위한 디바이스(200) - $\widehat{\mathbb{G}}$ 는 제1 그룹을 나타내고,

상기 선형 준동형 서명 σ 는 제1 서명 요소 v , 벡터들 $\vec{f}_1, \vec{f}_2, \vec{f}_3$ 을 사용하여 생성된, 추가 서명 요소들 z, r 및 u 각각에 대한 커미트먼트들 $\vec{c}_z, \vec{c}_r, \vec{c}_u$, 및 z, r 및 u 가 미리 결정된 검증 알고리즘들을 만족한다는 증명들 $\vec{\pi}_1, \vec{\pi}_2$ 을 포함함 - 로서,

프로세서(220)

를 포함하고,

상기 프로세서(220)는,

$(M_1, \dots, M_n) \neq (1_{\widehat{\mathbb{G}}}, \dots, 1_{\widehat{\mathbb{G}}})$ 와 상기 검증들 $\prod_{i=1}^n E(g_i, (1_{\widehat{\mathbb{G}}}, 1_{\widehat{\mathbb{G}}}, M_i))^{-1} = E(g_z, \vec{c}_z) \cdot E(g_r, \vec{c}_r) \cdot E(\pi_{1,1}, \vec{f}_1) \cdot E(\pi_{1,2}, \vec{f}_2) \cdot E(\pi_{1,3}, \vec{f}_3)$

$\prod_{i=1}^n E(h_i, (1_{\widehat{\mathbb{G}}}, 1_{\widehat{\mathbb{G}}}, M_i))^{-1} \cdot E(H_G(\tau), (1_{\widehat{\mathbb{G}}}, 1_{\widehat{\mathbb{G}}}, v))^{-1} = E(h_z, \vec{c}_z) \cdot E(h_r, \vec{c}_r) \cdot E(\pi_{2,1}, \vec{f}_1) \cdot E(\pi_{2,2}, \vec{f}_2) \cdot E(\pi_{2,3}, \vec{f}_3)$ 및 $E(\cdot, \cdot)$ 는 좌표-별 페어링 (coordinate-wise pairing)을 나타내고, h, h_z, h_r, g_z 및 g_r 는 제2 그룹의 요소들임 - 하고;

상기 검증이 성공적인 경우에 상기 서명이 성공적으로 검증된 것으로 결정하고 그렇지 않으면 상기 서명이 성공적으로 검증되지 않은 것으로 결정하도록 구성된 선형 준동형 서명 검증 디바이스.

명세서

기술분야

[0001] 본 발명은 일반적으로 암호화에 관한 것으로, 특히, 선형 준동형 구조-보존 서명(linearly homomorphic structure-preserving signatures)에 관한 것이다.

배경기술

- [0002] 이 섹션은, 아래 설명 및/또는 청구되는 본 발명의 다양한 양태와 관련될 수 있는 기술의 다양한 양태를 독자에게 소개하도록 의도된다. 이러한 논의는 본 발명의 다양한 양태의 보다 나은 이해를 용이하게 하기 위하여 배경 정보를 독자에게 제공하는 데 도움이 될 것으로 여겨진다. 따라서, 이러한 진술들은, 종래 기술을 인정하는 것이 아니라, 이러한 견지에서 읽혀져야 한다는 것을 이해해야 한다.
- [0003] 선형 준동형 서명(linearly homomorphic signatures)은 암호화에 대한 기술 분야에서 잘 알려져 있다. 이는, PKC'09, *Lecture Notes in Computer Science*, 5443권, 68-87페이지(2009)에 있는, D. Boneh, D. Freeman, J. Katz, B. Waters에 의한, Signing a Linear Subspace: Signature Schemes for Network Coding에 정의되어 있다.
- [0004] 다음에 있는 선형 준동형 서명에 대한 다른 예들이 사용가능하다:
- [0005] ● 2010년 6월 22일 발행된, US 7743253; D.-X. Charles, K. Jain, K. Lauter에 의한, Digital signature for network coding.
- [0006] ● PKC'09, *Lecture Notes in Computer Science*, 5443권, 68-87페이지(2009)에 있는, D. Boneh, D. Freeman, J. Katz, B. Waters에 의한, Signing a Linear Subspace: Signature Schemes for Network Coding.
- [0007] ● PKC'10, *Lecture Notes in Computer Science*, 6056권, 142-160페이지(2010)에 있는, R. Gennaro, J. Katz, H. Krawczyk, T. Rabin에 의한, Secure Network Coding over the Integers.
- [0008] ● PKC'11, *Lecture Notes in Computer Science*, 6571권, 17-34페이지(2011)에 있는, N. Attrapadung, B. Libert에 의한, Homomorphic Network Coding Signatures in the Standard Model.
- [0009] ● PKC'11, *Lecture Notes in Computer Science*, 6571권, 1-16페이지(2011)에 있는, D. Boneh, D. Freeman에 의한, Linearly Homomorphic Signatures over Binary Fields and New Tools for Lattice-Based Signatures.
- [0010] ● Eurocrypt '11, *Lecture Notes in Computer Science*, 6632권, 149-168페이지(2011)에 있는, D. Boneh, D. Freeman에 의한, Homomorphic Signatures for Polynomial Functions.
- [0011] ● PKC'12, *Lecture Notes in Computer Science*, 7293권, 697-714페이지(2012)에 있는, D. Freeman에 의한, Improved security for linearly homomorphic signatures: A generic framework.
- [0012] ● Eurocrypt '11, *Lecture Notes in Computer Science*, 6632권, 207-223페이지(2011)에 있는, D. Catalano, D. Fiore, B. Warinschi에 의한, Adaptive Pseudo-free Groups and Applications.
- [0013] ● PKC'12, *Lecture Notes in Computer Science*, 7293권, 680-696페이지(2012)에 있는, D. Catalano, D. Fiore, B. Warinschi에 의한, Efficient Network Coding Signatures in the Standard Model.
- [0014] 표준 가정 하에 표준 모델에서 안전하다고 입증된 스킴들 중에서, 가장 효율적인 스킴은 Asiacrypt '12, LNCS, 7658권, 367-385페이지(2012)에 있는, N. Attrapadung, B. Libert, T. Peters에 의한, Computing on Authenticated Data: New Privacy Definitions and Constructions에 있는 것으로 나타났다.
- [0015] 컨스트럭션(construction)은 가법 그룹(additive group) $(\mathbb{Z}_p, +)$ 에 걸쳐 준동형이다. 즉, 근본적인 순환 그룹 \mathbb{Z}_p^n (underlying cyclic group)은 $G = \mathbb{Z}_p$ 이고, 서명된 메시지는 파일 식별자 $\tau \in \{0, 1\}^L$ 및 벡터 $\mathbf{v} \in \mathbb{Z}_p^n$ 으로 구성되어 있다. 스킴은 프라임 오더(prime order) p 의 그룹들 $(\mathbb{G}, \hat{\mathbb{G}}, \mathbb{G}_T)$ 사이에 정의된 바이리니어 맵(bilinear map) $e: \mathbb{G} \times \hat{\mathbb{G}} \rightarrow \mathbb{G}_T$ 을 이용한다.
- [0016] Keygen(λ, n): 서명할 벡터의 차원(dimension)을 나타내는 정수 $n \in \text{poly}(\lambda)$ 및 보안 파라미터 $\lambda \in \mathbb{N}$ 을 고려하여, 프라임 오더 $p > 2^\lambda$ 의 바이리니어 그룹(bilinear groups) $(\mathbb{G}, \hat{\mathbb{G}}, \mathbb{G}_T)$ 을 선택한다. 일부 $L \in \text{poly}(\lambda)$ 에 대한 $\alpha \xleftarrow{R} \mathbb{Z}_p, \hat{\alpha} \xleftarrow{R} \hat{\mathbb{G}}, v \xleftarrow{R} \mathbb{G}$ 및 $u_0, u_1, \dots, u_L \xleftarrow{R} \mathbb{G}$ 를 선택한다. 이러한 요소들 $(u_0, u_1, \dots, u_L) \in \mathbb{G}^{L+1}$ 은 수 이론적 해시 함수 $H_G: \{0, 1\}^L \rightarrow \mathbb{G}$ 를 구현하는 데 사용되어, 임의의 L -비트 스트링 $m = m[1] \dots m[L] \in \{0, 1\}^L$ 은 해시 값 $H_\tau(m) = u_0 \cdot \prod_{i=1}^L u_i^{m[i]}$ 를 갖는다. $g_i \xleftarrow{R} \mathbb{G}$ ($i = 1$ 내지 n)를 선택한다. 마지막으로, 식별자 공간 $T = \{0, 1\}^L$ 을 정의한

다. 개인 키는 $sk := a$ 이고, 공개 키는 다음과 같이 구성된다.

$$[0017] \quad pk := ((\mathbb{G}, \mathbb{G}_T), \hat{g}, \hat{g}^a, v, \{g_i\}_{i=1}^n, \{u_i\}_{i=0}^L)$$

[0018] $\text{Sign}(sk, \tau, \vec{v})$: 벡터 $\vec{v} = (v_1, \dots, v_n) \in \mathbb{Z}_p^n$, 파일 식별자 $\tau := \{0, 1\}^L$ 및 개인 키 $sk = a \in \mathbb{Z}_p$ 를 고려하여, $r, s \xleftarrow{R} \mathbb{Z}_p$ 를 선택한다. 그 다음, 서명 $\sigma = (\sigma_1, \sigma_2, s) \in \mathbb{G} \times \mathbb{G} \times \mathbb{Z}_p$ 를 다음과 같이 산출한다.

$$[0019] \quad \sigma_1 = (g_1^{v_1} \cdots g_n^{v_n} \cdot v^s)^a \cdot H_G(\tau)^r, \quad \sigma_2 = \hat{g}^r$$

[0020] $SignDerive(pk, \tau, \{(\beta_i, \sigma^{(i)})\}_{i=1}^L)$: pk, 파일 식별자 τ 및 1 투플 $(\beta_i, \sigma^{(i)})$ 를 고려하여, 각각의 $\sigma^{(i)}$ 를 $\sigma^{(i)} = (\sigma_{i,1}, \sigma_{i,2}, s_i)$ ($i = 1$ 내지 L)로서 분석(parse)한다. $\hat{r} \xleftarrow{R} \mathbb{Z}_p$ 를 선택한다. 그 다음, (σ_1, σ_2, s) 를 산출 및 출력하는데, 여기서

$$[0021] \quad \sigma_1 = \prod_{i=1}^L \sigma_{i,1}^{\beta_i} \cdot H_G(\tau)^{\hat{r}} \quad \sigma_2 = \prod_{i=1}^L \sigma_{i,2}^{\beta_i} \cdot \hat{g}^{\hat{r}} \quad s = \sum_{i=1}^L \beta_i \cdot s_i$$

[0022] $\text{Verify}(pk, \tau, \vec{y}, \sigma)$: pk , 서명 $\sigma = (\sigma_1, \sigma_2, s)$ 및 메시지 (τ, \vec{y}) 를 고려하여 - 여기서 $\tau \in \{0, 1\}^L$ 이고 $\vec{y} = (y_1, \dots, y_n) \in (\mathbb{Z}_p)^n$ 임 - , $\vec{y} = \vec{0}$ 인 경우, \perp 를 리턴한다. 그렇지 않으면, $e(\sigma_1, \hat{g}) = e(g_1^{y_1} \cdots g_n^{y_n} \cdot v^s, \hat{g}^a) \cdot e(H_G(\tau), \sigma_2)$ 이기만 한다면 1을 리턴한다.

[0023] 컨스트럭션에서, 올-제로 벡터(all-zero vector) $\vec{0}$ 에 대한 서명은 허용되지 않는다는 것을 이해할 수 있을 것이다. 선형 준동형 서명의 모든 애플리케이션에서, 적당한 길이의 단위 벡터 $(0, \dots, 1, \dots, 0)$ 가 서명된 벡터들에 첨부되므로 이것은 제한이 아니다.

[0024] Attrapadung 등에 의한 논문에서, 위의 스킴은 디피-헬만 가정의 변형 하에 위조불가능한 것으로 입증되었다. 이 가정은, 랜덤으로 선택된 $a, b \in \mathbb{Z}_p$ 에 대해 $(g, \hat{g}, g^a, \hat{g}^b) \in (\mathbb{G} \times \mathbb{G})^2$ - 여기서, (\mathbb{G}, \mathbb{G}) 는 오더 p 의 순환 바이리니어 그룹임 - 를 고려할 때, 어떠한 PPT(Probabilistic Polynomial Time) 알고리즘도 g^{ab} 를 산출할 수 없음을 상정한다. 앞선 버전에서, 스킴은 컨텍스트를 완전히 은폐하고 있지 않다(즉, 파생된 서명이 원래 서명에 통계적으로 독립적이지 않다). Attrapadung 등은, 서명 길이를 증가하는 비용으로 컨텍스트를 완전히 은폐하게 할 수 있도록 스킴을 수정하는 방법을 보여 주었다[PKC'13, LNCS, 7778권, 386-404페이지(2013)에 있는, N. Attrapadung, B. Libert, T. Peters에 의한, Efficient Completely Context-Hiding Quotable Signatures and Linearly Homomorphic Signatures 참고].

[0025] 종래 기술에서의 선형 준동형 서명은 각각의 벡터의 좌표가 $(\mathbb{Z}_p, +)$ 와 같은 그룹에 속하는 벡터 공간에 대해서만 존재하는데, 이는 이산 대수를 산출하기 쉽다. 따라서, 유한 오더 p 의 이산-대수-하드 그룹(discrete-logarithm-hard group) G 에 좌표가 있는 벡터 $\vec{M}_1 \in \mathbb{G}^n$ 를 처리할 수 있는 스킴을 갖는 것이 바람직한 것임을 알 수 있을 것이다. 하나의 주요 어려움은, 이러한 그룹에서, 보통, 복수의 벡터 $\vec{M}_1, \dots, \vec{M}_{n-1} \in \mathbb{G}^n$ 가 선형 종속적인지 여부를 결정하는 것이 어렵다는 점이다. 일반적으로, $n > 2$ 에 대해, 이를 수행하는 유일한 알려진 방법은 \mathbb{Z}_p 에서 모든 좌표의 이산 대수를 산출하는 것이다.

[0026] 따라서, 메시지들이 특정 대수 구조(special algebraic structure), 즉, "구조-보존(structure-preserving)" 서명 스킴을 갖는 요소들일 수 있는 선형 준동형 서명 스킴을 갖는 것이 바람직하다는 것을 이해할 수 있을 것이다. 본 발명은 그러한 스킴을 제공한다.

발명의 내용

[0027] 제1 양태에서, 본 발명은 벡터 $(M_1, \dots, M_n) \in \mathbb{G}^n$ 에 대한 선형 준동형 서명 σ 를 생성하기 위한 방법에 관한 것으로

로, 여기서, $\hat{\mathbb{G}}$ 는 제1 그룹을 나타낸다. 디바이스의 프로세서는, 서명 키 $sk = \{x_i, y_i, \delta_i\}_{i=1}^n$ 를 사용하여, $z = \prod_{i=1}^n M_i^{-x_i}$, $r = \prod_{i=1}^n M_i^{-y_i}$, $u = \prod_{i=1}^n M_i^{-\delta_i}$ 를 계산함으로써 서명 요소들 (z, r, u) 을 산출하고, 서명 요소들 (z, r, u) 을 포함하는 서명 σ 를 출력한다.

[0028] 바람직한 실시예에서, 서명 키는 요소 $h_z^{\alpha_r}$ 를 더 포함하고, 프로세서는 또한 랜덤 요소 $\theta, \rho \xleftarrow{R} \mathbb{Z}_p^\theta$ 를 선택하고; 추가 서명 요소 $v = h^{\rho}$ 를 계산하고, 여기서, h 는 제2 그룹의 요소이고; 여기서, z 의 계산은 g_r^{θ} 의 곱을 더 포함하고, r 의 계산은 $g_z^{-\theta}$ 의 곱을 더 포함하고, u 의 계산은 $(h_z^{\alpha_r})^{-\theta}$ 의 곱을 더 포함하고, 여기서, α_r 은 정수이고, h, g_r 및 g_z 는 제2 그룹의 요소들이고; 여기서, 서명은 서명 요소 v 를 더 포함하고; 여기서, 제1 그룹 및 제2 그룹은 동일하다.

[0029] 제2 양태에서, 본 발명은 벡터 $(M_1, \dots, M_n) \in \hat{\mathbb{G}}^n$ 에 대한 서명 요소들 (z, r, u) 을 포함하는 선형 준동형 서명 σ 를 검증하는 방법에 관한 것으로, 여기서, $\hat{\mathbb{G}}$ 는 제1 그룹을 나타낸다. 디바이스의 프로세서는, $(M_1, \dots, M_n) \neq (1_{\hat{\mathbb{G}}}, \dots, 1_{\hat{\mathbb{G}}})$ 이고 (z, r, u) 가 제1 등식 $1_{\mathbb{G}_T} = e(g_s, z) \cdot e(g_r, r) \cdot \prod_{i=1}^n e(g_i, M_i)$ 및 제2 등식 $1_{\mathbb{G}_T} = e(h_s, z) \cdot e(h, u) \cdot \prod_{i=1}^n e(h_i, M_i)$ 를 만족하는지를 검증 - 여기서, $e(\cdot, \cdot)$ 는 대칭 및 가환성 페어링(symmetric and commutative pairing)을 나타내고, 여기서 h, h_s, h_i, g_r, g_i 및 g_z 는 제2 그룹의 요소들임 - 하고; 검증이 성공적인 경우에 서명이 성공적으로 검증된 것으로 결정하고 그렇지 않으면 서명이 성공적으로 검증되지 않은 것으로 결정한다.

[0030] 제1 실시예에서, 제2 등식은 항 $e(H_g(\tau), v)$ 를 더 포함하는데, 여기서, $H_g(\tau)$ 는 해시 함수를 나타내고, τ 는 서명된 벡터가 있는 서브스페이스의 식별자를 나타낸다.

[0031] 제3 양태에서, 본 발명은 벡터 $(M_1, \dots, M_n) \in \hat{\mathbb{G}}^n$ 에 대한 선형 준동형 서명 σ 를 생성하기 위한 디바이스에 관한 것으로, 여기서, $\hat{\mathbb{G}}$ 는 제1 그룹을 나타낸다. 디바이스는, 서명 키 $sk = \{x_i, y_i, \delta_i\}_{i=1}^n$ 를 사용하여, $z = \prod_{i=1}^n M_i^{-x_i}$, $r = \prod_{i=1}^n M_i^{-y_i}$, $u = \prod_{i=1}^n M_i^{-\delta_i}$ 를 계산함으로써 서명 요소들 (z, r, u) 을 산출하고, 서명 요소들 (z, r, u) 을 포함하는 서명 σ 를 출력하도록 구성된 프로세서를 포함한다.

[0032] 제1 실시예에서, 서명 키는 요소 $h_z^{\alpha_r}$ 를 더 포함하고, 프로세서는 또한 랜덤 요소 $\theta, \rho \xleftarrow{R} \mathbb{Z}_p^\theta$ 를 선택하고; 추가 서명 요소 $v = h^{\rho}$ 를 계산 - 여기서, h 는 제2 그룹의 요소임 - 하도록 구성되는데; 여기서, z 의 계산은 g_r^{θ} 의 곱을 더 포함하고, r 의 계산은 $g_z^{-\theta}$ 의 곱을 더 포함하고, u 의 계산은 $(h_z^{\alpha_r})^{-\theta}$ 의 곱을 더 포함하고, 여기서, α_r 은 정수이고, h, g_r 및 g_z 는 제2 그룹의 요소들이고; 여기서, 서명은 서명 요소 v 를 더 포함하고; 여기서, 제1 그룹 및 제2 그룹은 동일하다.

[0033] 제4 양태에서, 본 발명은 벡터 $(M_1, \dots, M_n) \in \hat{\mathbb{G}}^n$ 에 대한 서명 요소들 (z, r, u) 을 포함하는 선형 준동형 서명 σ 를 검증하기 위한 디바이스에 관한 것으로, 여기서, $\hat{\mathbb{G}}$ 는 제1 그룹을 나타낸다. 디바이스는, $(M_1, \dots, M_n) \neq (1_{\hat{\mathbb{G}}}, \dots, 1_{\hat{\mathbb{G}}})$ 이고 (z, r, u) 가 제1 등식 $1_{\mathbb{G}_T} = e(g_s, z) \cdot e(g_r, r) \cdot \prod_{i=1}^n e(g_i, M_i)$ 및 제2 등식 $1_{\mathbb{G}_T} = e(h_s, z) \cdot e(h, u) \cdot \prod_{i=1}^n e(h_i, M_i)$ 를 만족하는지를 검증 - 여기서, $e(\cdot, \cdot)$ 는 대칭 및 가환성 페어링(symmetric and commutative pairing)을 나타내고, 여기서, h, h_s, h_i, g_r, g_i 및 g_z 는 제2 그룹의 요소들임 - 하고; 검증이 성

공적인 경우에 서명이 성공적으로 검증된 것으로 결정하고 그렇지 않으면 서명이 성공적으로 검증되지 않은 것으로 결정하도록 구성된 프로세서를 포함한다.

[0034] 제1 실시예에서, 제2 등식은 항 $e(H_G(\tau), v)$ 를 더 포함하는데, 여기서, $H_G(\tau)$ 는 해시 함수를 나타내고, τ 는 서명된 벡터가 있는 서브스페이스의 식별자를 나타낸다.

[0035] 제5 양태에서, 본 발명은 벡터 $(M_1, \dots, M_n) \in \mathbb{G}^n$ 에 대한 선형 준동형 서명 σ 를 생성하기 위한 디바이스에 관한 것으로, 여기서, \mathbb{G} 는 제1 그룹을 나타낸다. 디바이스는, 서명 키 $sk = \{h_g, \alpha_g, x_i, y_i, \delta_i\}_{i=1}^n$ 를 사용 - 여기서, h_g 는 제2 그룹의 멤버이고, α_g 는 정수임 - 하여, $z = g_g^{\theta} \cdot \prod_{i=1}^n M_i^{-x_i}$, $r = g_g^{-\theta} \cdot \prod_{i=1}^n M_i^{-y_i}$, $u = (h_g, \alpha_g)^{-\theta} \cdot \prod_{i=1}^n M_i^{-\delta_i}$, $v = h_g^{\theta}$ 를 계산함으로써 서명 요소들 (z, r, u, v) 을 산출 - 여기서, $H_G(\tau)$ 는 해시 함수를 나타내고, τ 는 서명된 벡터가 있는 서브스페이스의 식별자를 나타냄 - 하고; z , r 및 u 에 대한 커미트먼트를 각각 생성하고; z , r 및 u 에 대한 커미트먼트를 사용하여, z , r 및 u 는 미리 결정된 검증 알고리즘을 만족한다는 증명(proof)을 생성하고; 서명 요소 v , z , r 및 u 에 대한 커미트먼트, 및 증명을 포함하는 서명 σ 를 출력하도록 구성된 프로세서를 포함한다.

[0036] 제6 양태에서, 본 발명은 벡터 $(M_1, \dots, M_n) \in \mathbb{G}^n$ 에 대한 선형 준동형 서명 σ 를 검증하기 위한 디바이스에 관한 것으로, 여기서, \mathbb{G} 는 제1 그룹을 나타내고, 선형 준동형 서명 σ 는 제1 서명 요소 v , 추가 서명 요소들 z , r 및 u 각각에 대한 커미트먼트들 $\vec{c}_z, \vec{c}_r, \vec{c}_u$, 벡터 $\vec{f}_1, \vec{f}_2, \vec{f}_3$ 를 사용하여 생성된 커미트먼트들, 및 z , r 및 u 가 미리 결정된 검증 알고리즘을 만족한다는 증명들 $\vec{\pi}_1, \vec{\pi}_2$ 를 포함한다. 디바이스는 $(M_1, \dots, M_n) \neq (1_{\mathbb{G}}, \dots, 1_{\mathbb{G}})$ 와 검증들 $\prod_{i=1}^n E(g_i, (1_{\mathbb{G}}, 1_{\mathbb{G}}, M_i))^{-1} = E(g_z, \vec{c}_z) \cdot E(g_r, \vec{c}_r) \cdot E(\pi_{1,1}, \vec{f}_1) \cdot E(\pi_{1,2}, \vec{f}_2) \cdot E(\pi_{1,3}, \vec{f}_3)$ 및 $\prod_{i=1}^n E(h_i, (1_{\mathbb{G}}, 1_{\mathbb{G}}, M_i))^{-1} \cdot E(H_G(\tau), (1_{\mathbb{G}}, 1_{\mathbb{G}}, v))^{-1} = E(h_z, \vec{c}_z) \cdot E(h_r, \vec{c}_r) \cdot E(\pi_{2,1}, \vec{f}_1) \cdot E(\pi_{2,2}, \vec{f}_2) \cdot E(\pi_{2,3}, \vec{f}_3)$ 를 검증 - 여기서, $E(\cdot, \cdot)$ 는 좌표-별 페어링(coordinate-wise pairing)을 나타내고, 여기서, h , h_g , h_i , g_r , g_i 및 g_z 는 제2 그룹의 요소들임 - ; 검증이 성공적인 경우에 서명이 성공적으로 검증된 것으로 결정하고 그렇지 않으면 서명이 성공적으로 검증되지 않은 것으로 결정하도록 구성된 프로세서를 포함한다.

도면의 간단한 설명

[0037] 본 발명의 바람직한 특징들은 이제 첨부 도면을 참조하여 비 제한적인 예로서 설명될 것이다.
도 1은 본 발명의 바람직한 실시예에 따른 구조-보존 선형 준동형 서명 시스템을 도시한다.
도 2는 본 발명의 바람직한 실시예에 따른 컨텍스트-온페 선형 준동형 구조-보존 서명을 생성 및 검증하기 위한 방법을 도시한다.

발명을 실시하기 위한 구체적인 내용

[0038] 본 발명의 구조-보존 선형 준동형 서명 스킴은, Cryptology ePrint Archive: Report 2010/133(2010)에서, M. Abe, K. Haralambiev, M. Ohkubo에 의한, Signing on Elements in Bilinear Groups for Modular Protocol Design 및 Crypto'10, Lecture Notes in Computer Science, 6223권, 209-236페이지(2010)에서, M. Abe, G. Fuchsbauer, J. Groth, K. Haralambiev, M. Ohkubo에 의한, Structure-Preserving Signatures and Commitments to Group Elements[설명을 위한 첫 번째 문서의 부록 C를 참조]에 제안된 구조-보존 서명 스킴의 변형을 기반으로 한다. 스킴은 준동형인 것으로 여겨지지 않고 여겨지지도 않았으며, 그것은 단지 주어진 공개 키에 대하여 하나의 메시지를 서명하는 것을 허용하는 것임을 이해할 수 있을 것이다.

[0039] 따라서, (\mathbb{G} 의 $n-1$ 선형 독립 벡터에 의해 스팬된) 단지 하나의 선형 서브스페이스가 주어진 키 페어($sk; pk$)를 사용하여 서명되는 한, 이산 대수 하드 그룹(discrete-logarithm-hard group)에 대해 선형 준동형 서명 스킴을 얻기 위해 제1 변형이 이루어진다. 이러한 제1 스킴은 다음과 같이 설명될 수 있다. 다음 표기법에서, pp 는 프라임 오더 $p > 2^{\lambda}$ 의 그룹 $(\mathbb{G}, \mathbb{G}_T)$ 으로 구성된 공개 파라미터들의 세트를 나타내는데, 여기서, $\lambda \in \mathbb{N}$ 은 보안 파

라미터이고, 그에 대해 효율적으로 산출가능한 바이리니어 맵 $e: \mathbb{G} \times \mathbb{G} \rightarrow \mathbb{G}_T$ 이 정의된다.

[0040] 도 1은 본 발명의 바람직한 실시예에 따른 준동형 서명을 생성하기 위한 암호화 서명 디바이스(100) 및 준동형 서명의 검증을 위한 암호화 서명 디바이스(200)를 도시한다. 디바이스(100, 200) 각각은 통신을 위해 구성된 적어도 하나의 인터페이스 유닛(110, 210), 적어도 하나의 프로세서("프로세서")(120, 220), 및 누산기와 중개 계산 결과와 같은 데이터를 저장하기 위해 구성된 적어도 하나의 메모리(130, 230)를 포함한다. 도면은 또한, 프로세서(120, 220)에 의해 실행될 때, 각각 본 발명에 따른 서명을 생성 및 검증하는 명령어들이 저장된 CD-ROM 또는 DVD와 같은 제1 및 제2 컴퓨터 프로그램 제품(비 일시적 저장 매체)(140, 240)을 도시한다.

[0041] 1 회용 스킴(One-time scheme):

[0042] Keygen(pp, n): pp 및 서명할 서브스페이스의 차원 $n \in \mathbb{N}$ 을 고려하여, 제너레이터 $h, g_z, g_r, z_z \xleftarrow{R} \mathbb{G}$ 를 선택한다.

$\chi_i, \gamma_i, \delta_i \xleftarrow{R} \mathbb{Z}_p$ 를 선택한다($i=1$ 내지 n). 그 다음, 각각의 $i \in \{1, \dots, n\}$ 에 대해, $g_i = g_z^{\chi_i} g_r^{\gamma_i}$, $h_i = h_z^{\chi_i} h_r^{\delta_i}$ 를 산출한다. 공개 키는 $pk = (g_z, h_r, h_z, h, \{g_i, h_i\}_{i=1}^n) \in \mathbb{G}^{2n+4}$ 로서 정의되고, 개인 키는 $sk = \{\chi_i, \gamma_i, \delta_i\}_{i=1}^n$ 로서 정의된다.

[0043] Sign(sk, $\tau(M_1, \dots, M_n)$): $sk = \{\chi_i, \gamma_i, \delta_i\}_{i=1}^n$ 를 사용하여 파일 식별자 $\tau = \varepsilon$ 와 관련된 벡터 $(M_1, \dots, M_n) \in \mathbb{G}^n$ 에 서명하기 위해,

$$z = \prod_{i=1}^n M_i^{-\chi_i}, \quad r = \prod_{i=1}^n M_i^{-\gamma_i}, \quad u = \prod_{i=1}^n M_i^{-\delta_i}$$

[0044]

[0045] 를 산출한다.

[0046] 서명은 $\sigma = (z, r, u) \in \mathbb{G}^3$ 를 포함한다.

[0047] SignDerive(pk, $\tau, \{(\omega_i, \sigma^{(i)})\}_{i=1}^l$): pk, 파일 식별자 τ 및 1 투플 $(\omega_i, \sigma^{(i)})$ 를 고려하여, 각각의 서명 $\sigma^{(i)}$ 를 $\sigma^{(i)} = (z_i, r_i, u_i) \in \mathbb{G}^3$ ($i=1$ 내지 l)로서 분석한다.

$$z = \prod_{i=1}^l z_i^{\omega_i}, \quad r = \prod_{i=1}^l r_i^{\omega_i}, \quad u = \prod_{i=1}^l u_i^{\omega_i}$$

[0048] [0049] 를 산출하고, $\sigma = (z, r, u)$ 를 리턴한다.

[0050] Verify(pk, $\sigma, \tau(M_1, \dots, M_n)$): 서명 $\sigma = (z, r, u) \in \mathbb{G}^3$, 벡터 (M_1, \dots, M_n) 및 파일 식별자 $\tau = \varepsilon$ 를 고려하여, $(M_1, \dots, M_n) \neq (1_{\mathbb{G}}, \dots, 1_{\mathbb{G}})$ 인 경우, (z, r, u) 가 등식 $1_{\mathbb{G}_T} = e(g_z, z) \cdot e(g_r, r) \cdot \prod_{i=1}^n e(g_i, M_i)$, $1_{\mathbb{G}_T} = e(h_z, z) \cdot e(h_r, r) \cdot \prod_{i=1}^n e(h_i, M_i)$ 를 만족하기만 하면 1을 리턴한다.

[0051] 최대 $n-1$ 개의 선형 독립 벡터 $\vec{M}_1, \dots, \vec{M}_{n-1}$ 에 대한 서명을 얻는 상태는 SDP(Simultaneous Double Pairing) 가정이 유지되는 한은 벡터 $\vec{M} \notin \text{span}(\vec{M}_1, \dots, \vec{M}_{n-1})$ 에 대한 서명을 위조할 수 없다는 것이 증명될 수 있다. Abe, Haralambiev 및 Ohkubo에 의한 논문에서 설명된 SDP 가정은, $(\mathbb{G}, \mathbb{G}_T)$ 에서, 요소들 $(g_z, g_r, h_z, h_r) \in \mathbb{G}^4$ 의 투플을 고려하여, $e(g_z \cdot z) \cdot e(g_r \cdot r) = 1_{\mathbb{G}_T}$ 및 $e(h_z \cdot z) \cdot e(h_r \cdot r) = 1_{\mathbb{G}_T}$ 이도록 비단순 투플(non-trivial tuple) $(z, r, u) \in \mathbb{G}^3 \setminus \{(1_{\mathbb{G}}, 1_{\mathbb{G}}, 1_{\mathbb{G}})\}$ 을 찾는 것이다.

[0052] 완전한 스킴(Full-fledged scheme):

[0053] 1 회용 스킴은 임의의 수의 선형 서브스페이스에 서명하도록 허용하는 선형 컨스트럭션으로 업그레이드될 수 있다. 이렇게 하려면, $\mathbb{G} = \mathbb{G}$ 인 바이리니어 그룹 (\mathbb{G}, \mathbb{G}) 의 구성이 필요하다. 즉, 바이리니어 맵 $e: \mathbb{G} \times \mathbb{G} \rightarrow \mathbb{G}_T$ 는, 대칭 및 가환성이어야 하기 때문에 동일한 그룹 \mathbb{G} 에서 그의 인수를 모두 가지고 있어야 한다.

[0054] 컨스트럭션에서, 각각의 파일 식별자 τ 는, 일부 $L \in \text{poly}(\lambda)$ 에 대해, L -비트 스트링으로 구성된다. 각각의 서명의 u 컴포넌트는 파일 식별자 τ 에 대해 워터스 서명 $(h_z^{\alpha_\tau} \cdot H_G(\tau)^{-\rho}, h^\rho)$ 을 갖는 1 회용 스킴의 서명의 집합(aggregation)으로 볼 수 있다[*Eurocrypt '05, Lecture Notes in Computer Science*, 3494권, 114-127페이지 (2005)에 있는, B. Waters에 의한, Efficient Identity-Based Encryption Without Random Oracles 참조]. 본 스킴에서, 이러한 워터스 서명은 서명 랜더마이저 $\Theta \in \mathbb{Z}_p$ 에 대한 지원으로 사용된다.

[0055] Keygen(pp, n): pp 및 서명할 서브스페이스의 차원 $n \in \mathbb{N}$ 을 고려하여, 다음 단계를 수행한다:

[0056] 1. $h \xleftarrow{R} \mathbb{G}$ 및 $\alpha_s, \alpha_r, \beta_s \xleftarrow{R} \mathbb{Z}_p$ 선택. $g_z = h^{\alpha_z}$, $g_r = h^{\alpha_r}$ 및 $h_z = h^{\beta_z}$ 정의.

[0057] 2. $i = 1$ 내지 n 에 대해, $\chi_i, \gamma_i, \delta_i \xleftarrow{R} \mathbb{Z}_p$ 를 선택하고, $g_i = g_z^{\chi_i} g_r^{\gamma_i}$, $h_i = h_z^{\chi_i} h^{\delta_i}$ 를 산출.

[0058] 3. $\tau = \tau[1] \dots \tau[L] \in \{0, 1\}^L$ 를 $H_G(\tau) = w_0 \cdot \prod_{k=1}^L w_k^{\tau[k]}$ 에 매핑하는 해시 함수 $H_G: \{0, 1\}^L \rightarrow \mathbb{G}$ 를 정의하는 랜덤 벡터 $\bar{w} = (w_0, w_1, \dots, w_L) \xleftarrow{R} \mathbb{G}^{L+1}$ 를 선택.

[0059] 공개 키는

[0060] $pk = (g_z, g_r, h_z, h, \{g_i, h_i\}_{i=1}^n, \bar{w}) \in \mathbb{G}^{2n+4} \times \mathbb{G}^{L+1}$ 로 구성되는 한편,

[0061] 개인 키는 $sk = (h_z^{\alpha_z}, \{\chi_i, \gamma_i, \delta_i\}_{i=1}^n)$ 이다.

[0062] $Sign(sk, \tau(M_1, \dots, M_n))$: 사용하여 파일 식별자 τ 과 관련하여 벡터 $(M_1, \dots, M_n) \in \mathbb{G}^n$ 에 서명하기 위해, $\theta, \rho \xleftarrow{R} \mathbb{Z}_p$ 를 선택하고,

$$z = g_r^\theta \cdot \prod_{i=1}^n M_i^{-\chi_i}, \quad r = g_z^{-\theta} \cdot \prod_{i=1}^n M_i^{-\gamma_i}, \quad u = (h_z^{\alpha_\tau})^{-\theta} \cdot \prod_{i=1}^n M_i^{-\delta_i} \cdot H_G(\tau)^{-\rho}, \quad v = h^\rho$$

를 산출한다.

[0063] 서명은 $\sigma = (z, r, u, v) \in \mathbb{G}^4$ 를 포함한다.

[0064] $SignDerive(pk, \tau, \{(\omega_i, \sigma^{(i)})\}_{i=1}^l)$: pk , 파일 식별자 τ 및 1 투플 $(\omega_i, \sigma^{(i)})$ 을 고려하여, 각각의 서명 $\sigma^{(i)}$ 을 $\sigma^{(i)} = (z_i, r_i, u_i, v_i) \in \mathbb{G}^4$ ($i = 1$ 내지 l)로서 분석한다. 그 다음, $\rho' \xleftarrow{R} \mathbb{Z}_p$ 를 선택하고,

[0065] $z = \prod_{i=1}^l z_i^{\omega_i}, \quad r = \prod_{i=1}^l r_i^{\omega_i}, \quad u = \prod_{i=1}^l u_i^{\omega_i} \cdot H_G(\tau)^{-\rho'}, \quad v = \prod_{i=1}^l v_i^{\omega_i} \cdot h^{\rho'}$

[0066] 를 산출하고, $\sigma = (z, r, u, v)$ 를 리턴한다.

[0067] Verify($pk, \sigma, \tau(M_1, \dots, M_n)$): 서명 $\sigma = (z, r, u, v) \in \mathbb{G}^4$, 파일 식별자 τ 및 벡터 (M_1, \dots, M_n) 를 고려하여, $(M_1, \dots, M_n) \neq (1_{\mathbb{G}}, \dots, 1_{\mathbb{G}})$ 이고, (z, r, u, v) 가 등식들

$$1_{\mathbb{G}_T} = e(g_z, z) \cdot e(g_r, r) \cdot \prod_{i=1}^n e(g_i, M_i),$$

$$1_{\mathbb{G}_T} = e(h_z, z) \cdot e(h_u, u) \cdot e(H_{\mathbb{G}}(\tau), v) \cdot \prod_{i=1}^n e(h_i, M_i)$$

[0068] 을 만족하기만 하면 1을 리턴한다.

[0069] [0070] 1 회용 스킴은, 각각의 서명에서 $\Theta = p = 0$ 인 특정 경우의 완전한 스킴(full-fledged scheme)이라는 것을 이해할 수 있을 것이다.

[0071] 컨텍스트-은폐 스킴(Context-hiding scheme):

[0072] 서명 도출 동작은 개인 키를 알지 못하고 근본적인 Θ 를 다시 랜덤화할 수 없기 때문에, 완전한 스킴은 완전한 컨텍스트-은폐 보안을 제공하지 않는다는 것을 이해할 수 있을 것이다. 일부 애플리케이션에서, 계산상 무한한 관찰자의 관점에서 조차, 도출된 서명 및 원래의 서명은 불연계성을 갖도록 보장하는 것이 바람직할 수 있다.

[0073] 이러한 이유로, 바람직한 실시예는 완전한 컨텍스트-은폐가 입증될 수 있는 스킴이다. 이러한 스킴은 완전한 스킴을 수정하여 얻어진다. 기본적으로, 서명자는 먼저 서명 $\sigma = (z, r, u, v)$ 을 완전한 스킴에서와 같이 산출한다. 요소 (z, r, u) 는 공개적으로 다시 랜덤화될 수 없기 때문에, 서명자는 그들이 단지 Groth-Sahai 커미트먼트 내에 나타나게 하고 [Eurocrypt '08, Lecture Notes in Computer Science, 4965권, 415-432페이지(2008)에 있는, J. Groth, A. Sahai에 의한, Efficient non-interactive proof systems for bilinear groups 참조], 커미트된 값들이 검증 등식을 만족한다는 비-대화형 증명(non-interactive proof)을 추가한다. Groth-Sahai 증명의 완벽한 랜덤화 가능 속성(Crypto '09, Lecture Notes in Computer Science, 5677권, 108-125페이지(2009)에 있는, M. Belenkiy, J. Camenisch, M. Chase, M. Kohlweiss, A. Lysyanskaya, H. Shacham에 의한, Randomizable Proofs and Delegatable Anonymous Credentials에 나타남)은, 도출된 서명이 새로 생성된 서명으로서 배포될 것이라는 점을 보장한다.

[0074] 이하의 설명에서, 바이리니어 맵 $e: \mathbb{G} \times \mathbb{G} \rightarrow \mathbb{G}_T$ 은 대칭적(즉, $\mathbb{G} = \mathbb{G}_T$)이도록 다시 요구된다. 다음 표기법에서, 좌표별 페어링 $E: \mathbb{G} \times \mathbb{G}^3 \rightarrow \mathbb{G}_T^3$ 는, 임의의 요소 $h \in \mathbb{G}$ 및 임의의 벡터 $\vec{g} = (g_1, g_2, g_3)$ 대해, $E(h, \vec{g}) = (e(h, g_1), e(h, g_2), e(h, g_3))$ 이도록 정의된다.

[0075] 도 2는 이하의 스킴의 Sign, SignDerive 및 Verify를 도시한다.

[0076] Keygen(pp, n): pp 및 서명할 서브스페이스의 차원 $n \in \mathbb{N}$ 을 고려하여, 다음 단계를 수행한다:

[0077] 1. $h \xleftarrow{R} \mathbb{G}$ 및 $\alpha_z, \alpha_r, \beta_z \xleftarrow{R} \mathbb{Z}_p$ 를 선택한다. $g_z = h^{\alpha_z}, g_r = h^{\alpha_r}$ 및 $h_z = h^{\beta_z}$ 를 정의한다.

[0078] 2. 각각의 $i \in \{1, \dots, n\}$ 에 대해, $x_i, y_i, \delta_i \xleftarrow{R} \mathbb{Z}_p$ 를 선택하고, $g_i = g_z^{\chi_i} g_r^{\gamma_i}, h_i = h_z^{\chi_i} h^{\delta_i}$ 를 산출한다.

[0079] 3. $f_1, f_2 \xleftarrow{R} \mathbb{G}$ 를 선택하고 벡터들 $\vec{f}_1 = (f_1, 1, g) \in \mathbb{G}^3$, $\vec{f}_2 = (1, f_2, g) \in \mathbb{G}^3$ 및 $\vec{f}_3 \xleftarrow{R} \mathbb{G}^3$ 을 정의하여 Groth-Sahai 공통 기준 스트링을 선택한다.

[0080] 공개 키는

$$pk = (g_z, g_r, h_z, h, \{g_i, h_i\}_{i=1}^n, \mathbf{f} = (\vec{f}_1, \vec{f}_2, \vec{f}_3))$$

[0082] 로 구성되는 한편, 개인 키는 $sk = (h_z^{\alpha_r}, \{\chi_i, \gamma_i, \delta_i\}_{i=1}^n)$ 이다.

[0083] $sk = (h_z^{\alpha_r}, \{\chi_i, \gamma_i, \delta_i\}_{i=1}^n)$ 을 사용하여 파일 식별자 τ 과 관련하여

벡터 $(M_1, \dots, M_n) \in G^n$ 을 서명하기 위해, 다음을 수행한다:

[0084] 1. $\theta, \rho \xleftarrow{R} \mathbb{Z}_p$ 를 선택하고,

$$z = g_r^\theta \cdot \prod_{i=1}^n M_i^{-\chi_i}, \quad r = g_z^{-\theta} \cdot \prod_{i=1}^n M_i^{-\gamma_i}$$

$$u = (h_z^{\alpha_r})^{-\theta} \cdot \prod_{i=1}^n M_i^{-\delta_i} \cdot H_G(\tau)^{-\rho}, \quad v = h^\rho$$

[0085] 를 산출한다(S1).

[0087] 2. 벡터 $f = (\vec{f}_1, \vec{f}_2, \vec{f}_3)$ 을 사용하여, z, r 및 u 에 대해 각각 커미트먼트를

$$\vec{c}_z = (1_G, 1_G, z) \cdot \vec{f}_1^{v_{z,1}} \cdot \vec{f}_2^{v_{z,2}} \cdot \vec{f}_3^{v_{z,3}}$$

$$\vec{c}_r = (1_G, 1_G, r) \cdot \vec{f}_1^{v_{r,1}} \cdot \vec{f}_2^{v_{r,2}} \cdot \vec{f}_3^{v_{r,3}}$$

$$\vec{c}_u = (1_G, 1_G, u) \cdot \vec{f}_1^{v_{u,1}} \cdot \vec{f}_2^{v_{u,2}} \cdot \vec{f}_3^{v_{u,3}}$$

[0089] 를 산출한다(S2). 이러한 커미트먼트들의 랜덤성을 사용하여, (z, r, u) 가 완전한 스Kim의 겸증 등식, 즉,

$$1_{G_T} = e(g_z, z) \cdot e(g_r, r) \cdot \prod_{i=1}^n e(g_i, M_i),$$

$$1_{G_T} = e(h_z, z) \cdot e(h, u) \cdot e(H_G(\tau), v) \cdot \prod_{i=1}^n e(h_i, M_i)$$

[0091] 를 만족한다는 증명들 $\vec{\pi}_1 = (\pi_{1,1}, \pi_{1,2}, \pi_{1,3}) \in G^3$ 및 $\vec{\pi}_2 = (\pi_{2,1}, \pi_{2,2}, \pi_{2,3}) \in G^3$ 을 생성한다.

[0092] 이러한 증명들은

$$\vec{\pi}_1 = (\pi_{1,1}, \pi_{1,2}, \pi_{1,3}) = (g_z^{-v_{z,1}} \cdot g_r^{-v_{r,1}}, g_z^{-v_{z,2}} \cdot g_r^{-v_{r,2}}, g_z^{-v_{z,3}} \cdot g_r^{-v_{r,3}})$$

$$\vec{\pi}_2 = (\pi_{2,1}, \pi_{2,2}, \pi_{2,3}) = (h_z^{-v_{z,1}} \cdot h_r^{-v_{r,1}}, h_z^{-v_{z,2}} \cdot h_r^{-v_{r,2}}, h_z^{-v_{z,3}} \cdot h_r^{-v_{r,3}})$$

[0094]로서 얻어지고, 겸증 등식들

$$\prod_{i=1}^n E(g_i, (1_G, 1_G, M_i))^{-1} = E(g_z, \vec{c}_z) \cdot E(g_r, \vec{c}_r) \cdot E(\pi_{1,1}, \vec{f}_1) \cdot E(\pi_{1,2}, \vec{f}_2) \cdot E(\pi_{1,3}, \vec{f}_3)$$

$$\prod_{i=1}^n E(h_i, (1_G, 1_G, M_i))^{-1} \cdot E(H_G(\tau), (1_G, 1_G, v))^{-1} = E(h_z, \vec{c}_z) \cdot E(h, \vec{c}_u) \cdot E(\pi_{2,1}, \vec{f}_1)$$

$$\cdot E(\pi_{2,2}, \vec{f}_2) \cdot E(\pi_{2,3}, \vec{f}_3)$$

[0096] 을 만족한다.

[0097] 서명은 $\sigma = (\vec{c}_z, \vec{c}_r, \vec{c}_u, v, \vec{\pi}_1, \vec{\pi}_2) \in G^{16}$ 을 포함한다.

[0098] $SignDerive(pk, \tau, \{(\omega_i, \sigma^{(i)})\}_{i=1}^l)$: pk, 파일 식별자 τ 및 1 투플 $(\omega_i, \sigma^{(i)})$ 를 고려하여, 각

각의 서명 $\sigma^{(i)}$ 을 $\sigma^{(i)} = (\vec{c}_{z,i}, \vec{c}_{r,i}, \vec{c}_{u,i}, v_i, \vec{\pi}_{1,i}, \vec{\pi}_{2,i}) \in \mathbb{G}^{16}$ ($i = 1$ 내지 1) 형태의 투플로서 분석한다. $\rho' \xleftarrow{R} \mathbb{Z}_p$ 를 선택하고,

$$\vec{c}_z = \prod_{i=1}^{\ell} \vec{c}_{z,i}^{\omega_i} \quad \vec{c}_r = \prod_{i=1}^{\ell} \vec{c}_{r,i}^{\omega_i} \quad \vec{c}_u = \prod_{i=1}^{\ell} \vec{c}_{u,i}^{\omega_i} \cdot H_{\tau}(\tau)^{-\rho'}$$

$$v = \prod_{i=1}^{\ell} v_i^{\omega_i} \cdot h^{\rho'} \quad \vec{\pi}_1 = \prod_{i=1}^{\ell} \vec{\pi}_{1,i}^{\omega_i} \quad \vec{\pi}_2 = \prod_{i=1}^{\ell} \vec{\pi}_{2,i}^{\omega_i}$$

[0099]

[0100] 를 산출한다.

[0101] 그 다음, S3는 커미트먼트들 및 증명들을 다시 랜덤화하고, $\sigma = (\vec{c}_z, \vec{c}_r, \vec{c}_u, v, \vec{\pi}_1, \vec{\pi}_2)$ 를 리턴한다.

[0102] Verify($pk, \sigma, \tau, (M_1, \dots, M_n)$): 페어 $(\tau, (M_1, \dots, M_n))$ 및 알려진 서명 σ 을 고려하여, 서명을 $(\vec{c}_z, \vec{c}_r, \vec{c}_u, v, \vec{\pi}_1, \vec{\pi}_2)$ 로서 분석한다. 그 다음, S5는 $(M_1, \dots, M_n) \neq (1_G, \dots, 1_G)$ 이고 Sign 검증들이 만족(S4), 즉,

$$\prod_{i=1}^n E(g_i, (1_G, 1_G, M_i))^{-1} = E(g_z, \vec{c}_z) \cdot E(g_r, \vec{c}_r) \cdot E(\pi_{1,1}, \vec{f}_1) \cdot E(\pi_{1,2}, \vec{f}_2) \cdot E(\pi_{1,3}, \vec{f}_3)$$

$$\prod_{i=1}^n E(h_i, (1_G, 1_G, M_i))^{-1} \cdot E(H_{\tau}(\tau), (1_G, 1_G, v))^{-1} = E(h_z, \vec{c}_z) \cdot E(h, \vec{c}_u) \cdot E(\pi_{2,1}, \vec{f}_1) \\ \cdot E(\pi_{2,2}, \vec{f}_2) \cdot E(\pi_{2,3}, \vec{f}_3)$$

[0103]

[0104] 이기만 하면 1을 리턴한다.

[0105] 스킴의 위조불가는, 차원 3의 그룹 요소들의 3개의 벡터가 선형적으로 종속적인지 아닌지 여부를 결정하는 것이 실현 불가능하다고 비공식적으로 말하는 선형 결정 가정(Decision Linear assumption) 하에 입증될 수 있다. 또한, 스킴은 무조건 컨택스트-온페형이다.

[0106]

본 발명의 장점은, 서명자가 자신의 이산 대수를 알지 못하더라도 그룹 요소로 구성된 벡터들을 서명하는 것을 허용할 수 있다는 것이다. 예를 들어, 서명 스킴은 서명자가 근본적인 평문(underlying plaintext)을 반드시 알 필요없이 암호문에 서명할 수 있도록 한다.

[0107]

본 발명의 스킴은 클라우드 컴퓨팅 서비스에서 암호화된 데이터세트를 아웃소싱하는데 사용될 수 있다는 것을 이해할 수 있을 것이다. 또한, 선형 준동형 서명은 또한 익명 추천 시스템에서 정확한 집합의 증거 역할을 할 수 있다.

[0108]

설명 및 (적절한 경우) 청구항 및 도면에 개시된 각각의 특징은 독립적으로 또는 임의의 적절한 조합으로 제공될 수 있다. 하드웨어로 구현되는 것으로 기술된 특징들은 또한 소프트웨어로 구현될 수도 있고, 그 반대일 수도 있다. 청구항에 나타나는 참조 번호는 단지 예시로서, 청구항의 범위에 아무런 제한 효과가 없다.

부호의 설명

[0109]

100 : 서명 디바이스

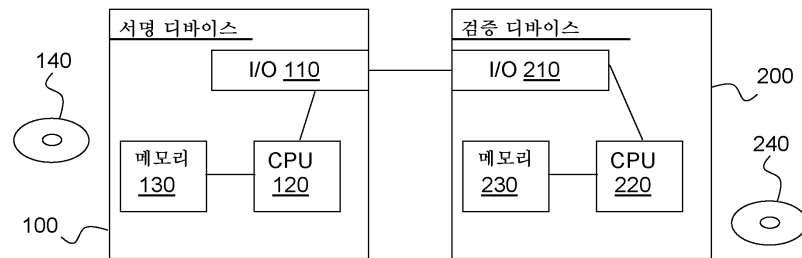
200 : 검증 디바이스

120, 220: 프로세서

130, 230: 메모리

도면

도면1



도면2

